

УДК 539.3:534.1

С. А. АБДУКАДЫРОВ, Н. И. АЛЕКСАНДРОВА, М. В. СТЕПАНЕНКО

## НЕСТАЦИОНАРНАЯ ДИФРАКЦИЯ ПЛОСКОЙ ПРОДОЛЬНОЙ ВОЛНЫ НА УПРУГОЙ ЦИЛИНДРИЧЕСКОЙ ОБОЛОЧКЕ

Исследование нестационарных задач взаимодействия плоской продольной волны с цилиндрической оболочкой начато в работах [1-3]. Хотя обсуждаемая задача продолжает привлекать внимание исследователей (см. [4, 5]), заметного продвижения в анализе механических эффектов взаимодействия волн с подкрепленной полостью не получено.

В публикуемой работе используется комбинированный метод решения. Путем отделения угловой координаты по методу Фурье плоская задача сводится к ряду одномерных задач, для каждой гармоники строятся асимптотические ( $t \rightarrow \infty$ ) решения, соответствующие статическому случаю. Параллельно с этим проведено численное решение усеченной системы с использованием явной конечно-разностной схемы и способа минимизации численной дисперсии [6], дающего практически точное описание фронтовых разрывов. Склейка обоих решений позволяет определить границы применимости асимптотики, выявить вклад, обусловленный нестационарностью, и получить таким образом оценки динамического состояния оболочки и среды на всем этапе взаимодействия.

1. Пусть на бесконечно длинную упругую круговую цилиндрическую оболочку, окруженную упругой изотропной средой, падает ступенчатая продольная волна сжатия с фронтом параллельным оси оболочки.

В полярной системе координат  $(r, \theta)$ , связанной с цилиндром, напряжения в прямой волне, касающейся лобовой точки с координатами  $r=R$ ,  $\theta=0$  в момент времени  $t=0$ , задаются в виде

$$\begin{aligned}\sigma_{\theta}^0 &= \sigma_0 [\varepsilon - 1 + (\varepsilon + 1) \cos 2\theta] H_0(z)/2 \\ \sigma_r^0 &= \sigma_0 [\varepsilon - 1 - (\varepsilon + 1) \cos 2\theta] H_0(z)/2 \\ \sigma_{r,\theta}^0 &= \sigma_0 [(\varepsilon + 1) \sin 2\theta] H_0(z)/2 \\ z &= c_1 t - R + r \cos \theta, \quad \varepsilon = -v_0 / (1 - v_0)\end{aligned}$$

где  $H_0$  — функция Хевисайда,  $\sigma_0$  — напряжения на фронте волны, распространяющейся в направлении  $z$ ,  $R$  — радиус оболочки,  $c_1$  — скорость волн расширения,  $v_0$  — коэффициент Пуассона среды.

Движение упругой среды описывается волновыми уравнениями для скалярного ( $\varphi$ ) и векторного ( $\psi$ ) потенциалов смещений (точками вверху обозначаются производные по времени):

$$\varphi^{**} = c_1^2 \Delta \varphi^*, \quad \psi^{**} = c_2^2 \Delta \psi^* \quad (1)$$

где  $c_2$  — скорость волн сдвига, а звездочкой здесь и ниже обозначаются величины, соответствующие суммарному полю, состоящему из возмущений в прямой волне (например,  $\varphi^0$ ) и волне, отраженной и излученной поверхностью оболочки ( $\varphi$ ):  $\varphi^* = \varphi^0 + \varphi$ .

Движение оболочки описывается линейными уравнениями классической теории Кирхгофа — Лява

$$\begin{aligned}c^{-2} v^{**} &= R^{-2} \left[ \frac{\partial^2 v}{\partial \theta^2} + \frac{\partial w}{\partial \theta} + \delta \left( \frac{\partial^2 v}{\partial \theta^2} - \frac{\partial^3 w}{\partial \theta^3} \right) \right] + \beta \sigma_{r,\theta}^* |_{r=R} \\ c^{-2} w^{**} &= -R^{-2} \left[ \frac{\partial v}{\partial \theta} + w + \delta \left( \frac{\partial^4 w}{\partial \theta^4} - \frac{\partial^3 v}{\partial \theta^3} \right) \right] + \beta \sigma_r^* |_{r=R}\end{aligned} \quad (2)$$

$$\delta = h^2 / (12R^2), \quad \beta = (\rho c^2 h)^{-1},$$

где  $v$ ,  $w$  — тангенциальное и нормальное смещения оболочки,  $h$  и  $\rho$  — ее толщина и плотность,  $c$  — скорость звука в тонкой пластине.

Требуется определить напряжения и перемещения в оболочке и среде при нулевых начальных условиях и следующих граничных условиях для среды ( $r=R$ ):

$$\begin{aligned} R^{-1} \partial \varphi / \partial \theta - \partial \psi / \partial r &= v - v^0, & v^0 &= z \sin \theta H_0(z) \sigma_0 / (\rho_0 c_1^2) \\ \partial \varphi / \partial r + R^{-1} \partial \psi / \partial \theta &= w - w^0, & w^0 &= -z \cos \theta H_0(z) \sigma_0 / (\rho_0 c_1^2) \end{aligned} \quad (3)$$

Потенциалы  $\varphi$  и  $\psi$  должны быть, кроме этого, равны нулю вне расширяющейся области, ограниченной фронтом возмущений.

Для решения задачи используется разложение в ряд Фурье по углу  $\theta$ . Уравнения движения (1), (2) для  $m$ -ой формы колебаний ( $m=0, 1, 2, \dots$ ) получены в следующем виде:

$$c^{-2} v_m^{**} = -\alpha^2 (1 + \delta) v_m - \alpha R^{-1} (1 + m^2 \delta) w_m + \beta \sigma_{r\theta, m}^* |_{r=R} \quad (4)$$

$$c^{-2} w_m^{**} = -\alpha R^{-1} (1 + m^2 \delta) v_m - R^{-2} (1 + m^4 \delta) w_m + \beta \sigma_{r, m}^* |_{r=R}$$

$$c_1^{-2} \varphi_m^{**} = \frac{\partial^2 \varphi_m}{\partial r^2} + \frac{1}{r} \frac{\partial \varphi_m}{\partial r} - \frac{m^2}{r^2} \varphi_m$$

$$c_2^{-2} \psi_m^{**} = \frac{\partial^2 \psi_m}{\partial r^2} + \frac{1}{r} \frac{\partial \psi_m}{\partial r} - \frac{m^2}{r^2} \psi_m \quad (5)$$

$$\alpha = m/R$$

Граничные условия (3) преобразуются так

$$r=R: \partial \psi_m / \partial r + \alpha \varphi_m = v_m^0 - v_m, \quad \partial \varphi_m / \partial r + \alpha \psi_m = w_m - w_m^0 \quad (6)$$

Применим к системе (4)–(6) преобразование Лапласа по времени с параметром  $p$  (преобразованные величины обозначаются сверху индексом  $L$ ). Решение уравнений (5) в изображениях с учетом условий излучения и краевых условий (6) имеет вид:

$$\begin{aligned} \varphi_m^L &= B_1 K_m(rp/c_1), & \psi_m^L &= B_2 K_m(rp/c_2) \\ B_1 &= [(w_m^{0L} - w_m^L) \beta_2 K_{m,2}^{(1)} + (v_m^{0L} - v_m^L) m K_{m,2}^{(0)}] R \Omega^{-1} \\ B_2 &= [(w_m^L - w_m^{0L}) m K_{m,1}^{(0)} + (v_m^L - v_m^{0L}) \beta_1 K_{m,1}^{(1)}] R \Omega^{-1} \end{aligned} \quad (7)$$

$$\Omega = m^2 K_{m,1}^{(0)} K_{m,2}^{(0)} - \beta_1 \beta_2 K_{m,1}^{(1)} K_{m,2}^{(1)}$$

$$K_{m,q}^{(n)} = \left( \frac{c_q}{p} \right)^n \left[ \frac{d^n}{dr^n} K_m \left( \frac{rp}{c_q} \right) \right]_{r=R}, \quad \beta_q = \frac{Rp}{c_q}$$

где  $K_m$  — функция Макдональда  $m$ -го порядка.

Для получения изображений гармоник ряда Фурье перемещений и напряжений в прямой волне вначале применим преобразование Лапласа, затем разложим в ряд Фурье. Используя соотношения

$$H_0^L(p) = p^{-1} \exp[-\beta_1 (1 - rR^{-1} \cos \theta)]$$

$$I_m(\beta_1) = \frac{1}{2\pi} \int_0^{2\pi} \exp(\beta_1 \cos \theta) \cos m\theta d\theta$$

где  $I_m$  — модифицированные функции Бесселя первого рода  $m$ -го порядка, получим искомые величины при  $r=R$  ( $\rho_0$  — плотность среды):

$$[\sigma_{\theta, m}^0]^L = \sigma_0 e_m e^{-\beta_1 p^{-1}} [(\varepsilon + 1) I_{m,1}^{(2)} - I_{m,1}^{(0)}]$$

$$[\sigma_{r, m}^0]^L = \sigma_0 e_m e^{-\beta_1 p^{-1}} [\varepsilon I_{m,1}^{(0)} - (\varepsilon + 1) I_{m,1}^{(2)}] \quad (8)$$

$$[\sigma_{r\theta, m}^0]^L = \sigma_0 e_m e^{-\beta_1 p^{-1} \beta^{-1} m (\varepsilon + 1)} (I_{m,1}^{(1)} - \beta_1^{-1} I_{m,1}^{(0)})$$

$$[v_m^0]^L = \sigma_0 e_m e^{-\beta_1 (\rho_0 c_1 \beta_1 p^2)^{-1} m} I_{m,1}^{(0)}$$

$$[w_m^0]^L = -\sigma_0 e_m e^{-\beta_1 (\rho_0 c_1 p^2)^{-1} m} I_{m,1}^{(1)}$$

$$I_{m,q}^{(n)} = \left( \frac{c_q}{p} \right)^n \left[ \frac{d^n}{dr^n} I_m \left( \frac{rp}{c_q} \right) \right]_{r=R}, \quad (q=1, 2), \quad (n=0, 1, 2)$$

$$e_0=1, \quad e_m=2 \quad (m \neq 0)$$

Подставляя (7) в выражение напряжений через потенциалы и учитывая соотношения (8), определим величины суммарных напряжений в среде, действующих на оболочку:

$$[\sigma_{r\theta, m}^*]^L = [\sigma_{r\theta, m}^1]^L - 2\mu_0 R^{-1} [(m+F_0) w_m^L + (1+F_1) v_m^L] \quad (9)$$

$$[\sigma_{r, m}^*]^L = [\sigma_{r, m}^1]^L - 2\mu_0 R^{-1} [(1+F_2) w_m^L + (m+F_0) v_m^L]$$

$$[\sigma_{r\theta, m}^1]^L = -\sigma_0 e_m e^{-\beta_2 m p^{-1} \Omega^{-1} K_{m,2}^{(0)}}$$

$$[\sigma_{r, m}^1]^L = -\sigma_0 e_m e^{-\beta_2 \beta_2 p^{-1} \Omega^{-1} K_{m,2}^{(1)}}$$

$$F_0 = m \beta_2^2 \Omega^{-1} K_{m,1}^{(0)} K_{m,2}^{(0)} / 2, \quad F_1 = \beta_1 \beta_2^2 \Omega^{-1} K_{m,1}^{(1)} K_{m,2}^{(0)} / 2$$

$$F_2 = \beta_2^3 \Omega^{-1} K_{m,1}^{(0)} K_{m,2}^{(1)} / 2, \quad \mu_0 = \rho_0 c_2^2$$

где  $\sigma_{r\theta}^1, \sigma_r^1$  — напряжения на поверхности ( $r=R$ ) абсолютно твердого неподвижного цилиндра.

Из системы (4), преобразованной по Лапласу, с учетом (9) получим

$$v_m^L = \beta (D_1 [\sigma_{r\theta, m}^1]^L - D_2 [\sigma_{r, m}^1]^L) / D, \quad w_m^L = \beta (D_3 [\sigma_{r, m}^1]^L - D_4 [\sigma_{r\theta, m}^1]^L) / D \quad (10)$$

$$D_1 = c^{-2} p^2 + R^{-2} (1 + m^4 \delta) + \gamma R^{-2} (1 + F_2)$$

$$D_2 = D_4 = m R^{-2} (1 + m^2 \delta) + \gamma R^{-2} (m + F_0)$$

$$D_3 = c^{-2} p^2 + m^2 R^{-2} (1 + \delta) + \gamma R^{-2} (1 + F_1)$$

$$D = D_1 D_3 - D_2 D_4, \quad \gamma = 2\rho_0 c_2^2 R / (\rho c^2 h)$$

Формулы (9), (10) полностью определяют решение в изображениях. Их точное обращение осуществить не удастся.

Будем искать асимптотику решения при больших значениях времени с начала процесса. Устремляя в выражениях (9), (10)  $p \rightarrow 0$ , после ряда преобразований получим асимптотику ( $t \rightarrow \infty$ ) коэффициентов Фурье каждой гармоники.

При  $m > 2$  асимптотика дает нулевые значения этих коэффициентов: с течением времени определяющими оказываются первые три формы ( $m = 0, 1, 2$ ).

Движению оболочки как твердого целого отвечает  $m=1$ :

$$w_1 = -v_1 \sim -t \sigma_0 / \rho_0 c_1 \quad (11)$$

Этой же формой определяется сила  $F$ , действующая на оболочку в направлении движения прямой волны, и ее импульс  $I$ , причем их асимптотики таковы:

$$F = R \int_{-\pi}^{\pi} (\sigma_{r\theta}^* \cos \theta + \sigma_{r\theta}^{*'} \sin \theta) d\theta = \pi R (\sigma_{r,1}^* - \sigma_{r\theta,1}^*) \sim 0 \quad (12)$$

$$I = \int F dt \sim M \sigma_0 / \rho_0 c_1 \quad (M = 2\pi R h \rho)$$

Из (11) и (12) следует, что с течением времени скорость оболочки становится равной скорости частиц среды в падающей волне, суммарные напряжения в среде на границе с оболочкой (так же как и напряжения в оболочке), движущейся вместе с окружающей средой ( $m=1$ ), а следовательно и амплитуда  $F$  стремятся к нулю. Импульс остается конечной величиной и равен произведению массы оболочки на скорость частиц среды. Аналогичный результат получен и в том случае, когда окружающая оболочку среда — идеальная сжимаемая жидкость [7].

Асимптотика нулевой и второй гармоник полностью определяет напряжение в среде и оболочке при относительно большом времени, прошедшем с начала взаимодействия:

$$m=0: \quad w_0/R \sim -(R/h)(1+\gamma)^{-1}\sigma_0/(\rho c^2) \quad (13)$$

$$\sigma_{\theta,0}^c \sim -(R/h)(1+\gamma)^{-1}\sigma_0, \quad \sigma_{\theta,0}^* \sim (\varepsilon - \gamma(1+\gamma)^{-1})\sigma_0$$

$$\sigma_{r,0}^* \sim -(1+\gamma)^{-1}\sigma_0, \quad \sigma_{r\theta,0}^* \sim v_0 \sim 0$$

$$m=2: \quad w_2/R \sim -2B^{-1}(2+4\delta+\gamma)\sigma_0/(\rho_0 c_1^2) \quad (14)$$

$$v_2/R \sim 2B^{-1}(1+8\delta+\gamma)\sigma_0/(\rho_0 c_1^2)$$

$$\sigma_{\theta,2}^* \sim 2\sigma_0 B^{-1}(1+\varepsilon) [(1-\varepsilon)\gamma - \varepsilon + 4\delta(3\varepsilon\gamma^{-1} - \varepsilon + 3)]$$

$$\sigma_{r\theta,2}^* \sim 4\sigma_0 B^{-1}(1+\varepsilon)(1-2\delta+6\delta\gamma^{-1})$$

$$\sigma_{r,2}^* \sim 2\sigma_0 B^{-1}(1+\varepsilon)(1-8\delta-12\delta\gamma^{-1})$$

$$\sigma_{\theta,2}^c = 2\sigma_0 B^{-1}(R/h)(1+\varepsilon)(1+12\delta\gamma^{-1})$$

$$B = \gamma(1-\varepsilon) + 3 - \varepsilon + 4\delta(3 - \varepsilon + 9\gamma^{-1} + 3\varepsilon\gamma^{-1})$$

Из вида асимптотики (13) следует, что взаимодействие оболочки с окружающей ее упругой средой снижает амплитуды осесимметричных смещений и напряжений. С уменьшением основного безразмерного параметра задачи —  $\gamma$  влияние среды ослабевает и при  $\gamma=0$  исчезает: среда с нулевой сдвиговой жесткостью (идеальная сжимаемая жидкость) не изменяет амплитуд смещений и напряжений в оболочке, обжатой всесторонним давлением.

Качественное отличие влияния упругой среды по сравнению с акустической заключается в том, что в последнем случае смещения и напряжения, соответствующие второй форме, асимптотически равны нулю [7], в случае же упругой среды ( $\gamma \neq 0$ ) их вклад в суммарные амплитуды с ростом  $\gamma$  возрастает и может стать определяющим. Асимптотики (13), (14) приобретают максимально простой для анализа физических следствий вид, если  $\gamma \gg 1$ . Это соответствует реальности в случае достаточно тонкой оболочки или оболочки средней толщины, жесткость материала которой одного порядка с жесткостью среды. Просуммировав нулевую и вторую формы в (13), (14) и полагая  $\gamma \gg 1$  и  $\delta \ll 1$ , получим следующие асимптотики:

$$w/R \sim -(\sigma_0/\mu_0)\Phi_1(\theta), \quad v/R \sim -(\sigma_0/\mu_0)\Phi_2(\theta)$$

$$\sigma_r^* \sim -2\sigma_0\gamma^{-1}\Phi_1(\theta), \quad \sigma_{r\theta}^* \sim 4\sigma_0\gamma^{-1}\Phi_2(\theta)$$

$$\sigma_{\theta}^* \sim -2\sigma_0(1-\nu_0)^{-1}\Phi_1(\theta), \quad \sigma_{\theta}^c \sim -2\sigma_0\gamma^{-1}(R/h)\Phi_1(\theta) \quad (15)$$

$$\Phi_1(\theta) = 1/2 - (1-2\nu_0)\cos 2\theta, \quad \Phi_2(\theta) = (1-2\nu_0)\sin 2\theta$$

$$\Phi_1(\theta_*) = 0, \quad \theta_* = 1/2 \arccos(1/(2-4\nu_0))$$

Максимальные сжимающие напряжения достигаются в боковой точке ( $\theta=\pi/2$ ). Отметим, что представляющие основной интерес окружные напряжения  $\sigma_{\theta}^*$  не зависят от  $h$ , характер их изменчивости по  $\theta$  для оболочки и среды один и тот же: при  $\theta < \theta_*$  они сжимающие, при  $\theta = \theta_*$  меняют знак и при  $\theta > \theta_*$  становятся растягивающими.

Значение коэффициента Пуассона среды  $\nu_0 = 1/4$  является в асимптотике (15) своеобразным граничным фактором: при  $\nu_0 > 1/4$  действительные значения  $\theta_*$  отсутствуют и напряжения везде сжимающие, при  $\nu_0 = 1/4$  имеем две точки  $\theta_* = 0, \pi$ , где  $\sigma_\theta = 0$ , а при  $\nu_0 < 1/4$  в окрестностях углов  $\theta = 0$  и  $\theta = \pi$  появляются симметричные зоны, в которых напряжения становятся растягивающими. С уменьшением  $\nu_0$  эти зоны растут, достигая максимальной величины ( $\theta_* = \pi/3$ ) при  $\nu_0 = 0$ . Отметим, что асимптотика (15) для  $w, v$  и  $\sigma_\theta^*$  отвечает статическому решению для неподкрепленной полости. В этом решении напряжения  $\sigma_r^*$  и  $\sigma_{r\theta}^*$  в силу граничных условий отсутствуют. В (15) они не равны нулю, хотя и существенно меньше  $\sigma_\theta^*$  (т. к. пропорциональны  $\gamma^{-1}$ , а  $\gamma \gg 1$ ). Формулы (15) позволяют получить простую оценку напряжений в оболочке  $\sigma_\theta^c$  через  $\sigma_\theta^*$  на границе:

$$\sigma_\theta^c / \sigma_\theta^* \sim (\mu_0 / \mu) (1 - \nu) / (1 - \nu_0), \quad \mu = 1/2 E (1 + \nu)^{-1}$$

2. Далее необходимо выяснить какова погрешность асимптотических оценок на конечном интервале времени, определить коэффициенты динамичности и установить пределы применимости этих оценок в конкретных задачах с реальными параметрами оболочки и среды.

Этой цели служит численное решение, полученное методом конечных разностей. Вначале к уравнениям и граничным условиям в смещениях применяется разложение в ряд Фурье. Система одномерных уравнений относительно коэффициентов гармоник Фурье решается по явной разностной схеме типа «крест». Численная дисперсия, проявляющаяся в окрестностях фронтов и при расчете быстроменяющихся составляющих решения, минимизируется благодаря специальной аппроксимации функций в узлах координатной сетки [6], что позволяет использовать при расчете предельное состояние условия Куранта:  $c_1 \Delta t / \Delta r = 1$ , где  $\Delta t$  и  $\Delta r$  шаги сетки.

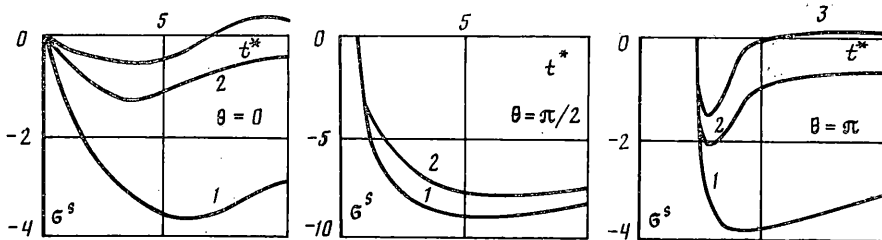
Расчеты показали, что уже при  $\Delta r = 0,05R$  достигается вполне удовлетворительная точность, не удовлетворительная точность, чем на 1%.

при дальнейшем уменьшении  $\Delta r$  изменение результатов наблюдается в третьей значащей цифре. При вычислении сумм ряда Фурье удерживалось 11 членов ( $m = 0, \dots, 10$ ), увеличение числа форм не приводило к изменению результатов более, чем на 1%.

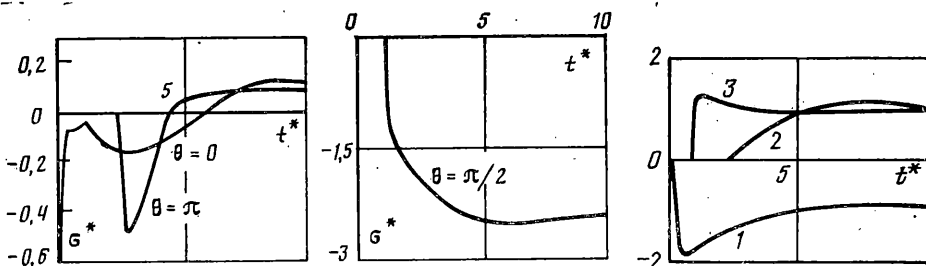
На фиг. 1–4 представлена зависимость от времени ( $t^* = tc_1/R$ ) некоторых параметров процесса. Штриховым прямыми линиям соответствуют амплитуды, полученные суммированием асимптотик. Параметры  $E$  и  $\nu_0$  варьируются, неизменными для всех расчетных примеров являются  $\nu = 0,25$ ,  $\rho = 2,9$  и  $h = 0,038$ .

Кривые 1–3 на фиг. 1 ( $E = 23,1$ ,  $\nu_0 = 0,25$ ) – напряжения  $\sigma^s = \sigma_\theta^c / \sigma_0$  в сечениях  $\theta = 0, \pi/2, \pi$ . Видно, что везде в оболочке  $\sigma^s$  являются сжимающими и достигают максимума в боковой точке. В теньевую точку ( $\theta = \pi$ ) возмущения, распространяющиеся по оболочке, приходят в момент времени  $t_1 = \pi R/c$ , а дифракционная волна – при  $t_2 = (1 + \pi/2)R/c_1$  (при выбранных параметрах  $c = 2,9$  и  $t_1^* = 1,08$ ,  $t_2^* = 2,57$ ). При  $t \approx t_2$  напряжения в лобовой и теневой точках практически не отличаются между собой. Этот факт, как показали расчеты, свойствен для относительно жестких оболочек ( $E \gg 10$ ). Время достижения асимптотики тесно связано с величиной скорости звука в оболочке  $c$ . Численным экспериментом установлено, что начиная с  $t \approx 15R/c$  асимптотика удовлетворительно описывает напряженное состояние оболочки.

С уменьшением относительной жесткости оболочки возрастает роль коэффициента Пуассона среды в формировании напряженного состояния. На фиг. 2 приведены кривые  $\sigma^s$ , рассчитанные при  $E = 2,78$  и  $\nu_0 = 0,35$ ;  $0,25$ ;  $0,2$  (кривые 1–3) в сечениях  $\theta = 0, \pi/2, \pi$  соответственно. При  $\nu_0 = 0,25$  и  $\nu_0 = 0,2$  асимптотические значения  $\sigma^s$  в точке  $\theta = \pi/2$  соответственно равны 6,93 и 6,83; в масштабе рисунка кривые 2, 3 и их асимптотики сливаются. С уменьшением  $\nu_0$  распределение напряжений по окружности становится существенно неоднородным. Если при  $\nu_0 = 0,5$  (сжимаемая жидкость)  $\sigma_{0,2}^c \rightarrow 0$  ( $t \rightarrow \infty$ ) и напряженное состояние определяется со временем осесимметричной составляющей, то, как следует из (13), (14), вклад  $\sigma_{0,0}^c$  с уменьшением  $\nu_0$  убывает, а  $\sigma_{0,2}^c$  – возрастает. При этом суммарные напряжения в боковой точке меняются незначительно и всегда остаются сжимающими, а в лобовой и теневой точках – зависят от  $\nu_0$  существенно. Так, при  $\nu_0 = 0,35$  максимальные амплитуды здесь приблизительно вдвое меньше, чем в боковой, при  $\nu_0 = 0,25$  уже меньше в 4–6 раз (асимптотики – на порядок); хотя все еще остаются сжимающими, а при



Фиг. 2



Фиг. 3

Фиг. 4

$v_0=0,2$  уже становятся со временем растягивающими. Принятые в расчете параметры определяют:  $\gamma \approx 6$ , величину, как выясняется, достаточную, чтобы с приемлемой для практики точностью выполнялись оценки (15).

Напряжения  $\sigma^* = \sigma_0^*/\sigma_0$  в среде на границе с оболочкой, рассчитанные при  $v_0 = 0,2$  и  $E = 2,78$ , представлены на фиг. 3. Максимальная амплитуда сжимающих напряжений достигается в боковой точке при  $t^* \approx 6$  и на 12% превышает асимптотическое значение. В точках  $\theta = 0, \pi$  при  $t^* \approx 5$  реализуется растяжение сравнительно небольшой амплитуды. Расчеты позволили установить важный результат: максимальные значения окружных напряжений (достигающиеся в боковой точке) не более, чем на 20% превышают асимптотику (коэффициент динамичности  $\sim 1,2$ ).

Таким образом, на характер распределения напряжений в оболочке и среде основное влияние оказывает коэффициент Пуассона  $\nu_0$ . Для малых значений  $\nu_0$  в окрестностях лобовой и теневой точек возникают зоны растягивающих напряжений. Сжимающие напряжения всегда максимальны в боковой точке, их уровень существенно выше (при  $\nu_0 \leq 0,25$  — на порядок) уровня напряжений в точках  $\theta = 0, \pi$ . Асимптотика с удовлетворительной для практических расчетов точностью определяет напряжения в оболочке и среде, начиная с  $t \approx 5R/c_1$ .

Скорости движения различных точек оболочки в направлении распространения прямой волны показаны на фиг. 4. Кривой 1 соответствует величина  $w'(0)/u_0$ , 2 —  $v'(\pi/2)/u_0$ , 3 —  $w'(\pi)/u_0$ ,  $u_0 = \sigma_0/\rho_0 c_1$ . Начиная с  $t \approx 5R/c_1$  оболочка движется как жесткое тело со скоростью частиц среды в прямой волне.

#### СПИСОК ЛИТЕРАТУРЫ

1. Baron M., Parnes R. Diffraction of a pressure wave by a cylindrical shell in an elastic medium // Proc. 4-th U. S. Nat. Congr. Appl. Mech. N. Y.: ASME, 1962. V. 1. P. 63–75.
2. Peralta L., Carrier G., Mow C. An approximate procedure for the solution of a class of transient — wave diffraction problems // Trans. ASME. Ser. E. J. of Appl. Mech. 1966. V. 33. N 1. P. 168–172.
3. Гернет, Крузе-Паскаль. Неустановившаяся реакция находящегося в упругой среде кругового цилиндра произвольной толщины на действие плоской волны расширения // Тр. америк. о-ва инж.-механиков. Сер. E. Прикл. механика. 1966. Т. 33. № 3. С. 48–60.
4. Гузь А. Н., Кубенко В. Д., Черевко М. А. Дифракция упругих волн // Прикл. механика. 1978. Т. 14. № 8. С. 3–15.
5. Вестяк А. В., Горшков А. Г., Тарлаковский Д. В. Нестационарное взаимодействие деформируемых тел с окружающей средой // Итоги науки и техники. Сер. Механика деформируемого твердого тела. М.: ВИНТИ, 1983. Т. 15. С. 69–148.
6. Абдукадыров С. А., Пинчукова Н. И., Степаненко М. В. Об одном способе численного решения уравнений динамики упругих сред и конструкций // Физ.-техн. пробл. разраб. полез. ископаемых. 1984. № 6. С. 34–41.
7. Пинчукова Н. И. Действие плоской акустической волны давления на цилиндрическую оболочку, заполненную жидкостью // Изв. АН СССР. МТТ. 1985. № 6. С. 168–174.

Ташкент, Новосибирск

Поступила в редакцию  
5.XI.1987